

# بررسی تأثیر شیب کف پله ها در سرریزهای پلکانی

داود احمدیار

عضو هیأت علمی دانشکده عمران

دانشگاه صنعتی خواجه نصیرالدین طوسی

حبيب ا... بیات

استادیار دانشکده عمران دانشگاه صنعتی امیرکبیر

چکیده:

یک سری مطالعات مدل فیزیکی، بر روی سرریز پلکانی انجام شده است تا اثرات تغییر شیب کف پله ها در میزان استهلاک انرژی جریان بر روی این سرریزها و عوامل مؤثر در افت انرژی بررسی گردند. با انتخاب چهار گزینه از ارتفاع پله ها به عنوان متغیر اول و تغییر چهار زاویه کف پله ها به عنوان متغیر دوم، مجموعاً ۱۶ گزینه مورد آزمایش قرار گرفته است.

نتایج حاصل از مطالعات عینی، حاکی از آنست که با افزایش زاویه کف پله در هر یک از گزینه های مفروض از ارتفاع پله ها، میزان استهلاک انرژی کاهش می یابد. همچنین با استفاده از تحلیل ابعادی و نتایج آزمایش ها، تأثیر پارامترهای مختلف در افت انرژی بررسی گردیده است. در همین راستا ضریب کشش شکل در سرریزهای پلکانی مورد بررسی قرار گرفته و عوامل مؤثر در آن محاسبه شده است.

بررسی آماری نشان می دهد که عدد فرود در بین متغیرهای دیگر، بیشترین ضریب همبستگی را با ضریب کشش شکل دارد، لذا رابطه ای برای محاسبه ضریب کشش شکل بر اساس عدد فرود جریان در سرریزهای پلکانی به دست آمده است.

آزمایش های این تحقیق در آزمایشگاه هیدرولیک دانشگاه صنعتی امیرکبیر انجام گرفته است.

## AN INVESTIGATION INTO THE EFFECTS OF STEP'S BOTTOM SLOPE ON STEPPED SPILLWAYS

DAVOOD. AHMADYAR, MS.c.

Lecturer of civil Engineering Dept.  
K.N.Toosi Univ. of Technology

Habib o Bayat, Ph.D.

Assistant Professor of Civil Engineering Dept.  
Amirkabir Univ. of Technology

## ABSTRACT:

A Physical model investigation was conducted to evaluate the effects of step's bottom stope changes on the energy dissipation characteristics of this type of spillways and to assess the affecting parameters on energy losses. By means of four selected alternatives of steps hieghts as the first variable and by adapting four bottom slope angles as the second variable, a series of sixteen experiments were carried out.

observation indicate that the higher the bottom slope angle for any given step hieght, the lower the energy dissipation would be.

More over, the effect of different factors on energy loss was studied using a dimentional analysis method. In this regard, the so called form drag coefficient on stepped spillways was assessed and related parameters computed. statistical analysis showed that amongst different parameters, the froude number has the greatest bearing on the drag coefficient, and an expression for estimating drag coefficent, hence, was developed using froude number as a basis. Experimental studies of the present project were conducted at the Hydraulic laboratories of the Amirkabir University of Technology.

## ۱ مقدمه

ایالات متحده اشاره کرد. مطالعات مدلی سرریزهای اخیر الذکر که بعد از سال ۱۹۸۰ صورت گرفته، مبنی آن است که استهلاک انرژی در این سرریزها، حدود ۷۵ درصد بیشتر از سرریز پلکانی اوچی می باشد. همچنین ابعاد حوضچه آرامش مورد نیاز به مقدار نصف طول متعارف کاهش یافته و انرژی جنبشی جریان در پنجه سرریز کاوشی به میزان ۸۴ درصد را نشان می دهد (۵).

علیرغم بررسیهای متعدد انجام یافته بر روی سرریز پلکانی، هنوز عوامل مؤثر بر استهلاک انرژی و ملاک طراحی هیدرولیکی برای بهینه کردن ابعاد پله های سرریز معروف نشده است، لذا به منظور تحقیق اهداف فوق بررسی مدل فیزیکی (هیدرولیکی) این سرریزها امری ضروری است، که تحقیق حاضر گامی در این جهت می باشد.

## ۲ تئوری

با توجه به متغیرهای بسیاری که در افت انرژی جریان بر روی سرریز پلکانی دخالت دارند، شکل کلی معادله ابعادی قابل برقراری بین عوامل مذکور، با استفاده از روش باکینگهام و تشکیل گروههای بی بعد به صورت زیر در می آید:

$$\frac{E_L}{E_1} = f \left( \frac{P}{k}, \frac{H}{k}, \frac{\lambda}{k}, S, \frac{D}{k}, R_e, F_r \right) \quad (1)$$

در رابطه فوق  $\frac{\lambda}{k}$  فاصله نسبی  $\frac{D}{k}$  عمق نسبی  $R_e$  عدد رینولدز

به منظور استهلاک انرژی جریان عبوری از سرریز سدها و در نتیجه جلوگیری از آسیبها احتمالی در پایین دست سد، عموماً از سازه های مختلفی از قبیل باکت پرتاپی، حوضچه های آرامش استاندارد و ... استفاده می شود.

سرریز پلکانی (stepped Spillway) یکی دیگر از روشهای مناسب به لحاظ فنی و اقتصادی می باشد که در آن قسمت عمده انرژی جریان در اثر مقاومت هیدرولیکی عناصر زیر (پله ها) بر روی سطح پلکانی شده سرریز مستهلهک می شود لذا می توان از این سرریز جهت اتلاف انرژی جریان بدون بهره گرفتن از حوضچه آرامش به طور کلی و یا بهره گیری از یک حوضچه آرامش کوچک استفاده کرد. پروفیل طولي این نوع سرریز، از اصلاح پروفیل سرریزهای آبریز (ogee) استاندارد (WES) به دست می آید، به طوری که در پایین دست نقطه تماس، پله هایی با ابعاد یکسان در داخل پروفیل سرریز به گونه ای قرار می گیرند که نوک پله ها بر پروفیل طولي سرریز منطبق باشند. همچنین برای اجتناب از تأثیر هیدرولیکی پله های اصلی بر شرایط جریان در بالا دست نقطه تماس، چند پله با ابعاد کوچکتر از پله های اصلی به عنوان پله های تبدیل (Transition Steps) در نظر گرفته می شوند (۶).

سرریز پلکانی طرحی جدید نیست و تاکنون در چندین سد، سرریز پلکانی مورد استفاده قرار گرفته است، که می توان به سرریز برخی از سدهای قدیمی ایران با عمر متجاوز از ۷۰۰ سال و یا سدهای Upper Still Water در Monksville

خواهد بود. بنابراین نیروی کشش شکل (Form Drag Force) را هر پله به صورت زیر نوشتند می شود:

$$F_B = C_D K B \frac{\rho V^2}{2} \quad (5)$$

از تقسیم کردن نیروی کشش ( $F_B$ ) بر سطحی که توسط هر پله اشغال می شود ( $\lambda_B$ ) تنفس برشی بر حسب کشش شکل به دست می آید:

$$\tau''_B = \frac{F_B}{\lambda_B} = C_D \frac{k}{\lambda} \frac{\rho V^2}{2} \quad (6)$$

از طرفی تنفس برشی متوسط در بستر کanal به صورت زیر نوشته می شود:

$$\tau_B = \gamma R_B \sin \alpha \quad (7)$$

که در آن  $R_B$  شعاع هیدرولیکی ستر می باشد و با رابطه زیر مشخص می شود:

$$R_B = D \left( 1 - \frac{2}{B} \left( \frac{V n_w}{S^{1/2}} \right)^{3/2} \right) \quad (8)$$

از تساوی روابط (6) و (7) داریم:

$$\gamma R_B \sin \alpha = C_D \frac{k}{\lambda} \frac{\rho V^2}{2} \quad (9)$$

با قرار دادن  $\rho g = \gamma$  و ساده کردن رابطه فوق داریم:

$$C_D = \left( \frac{2g R_B \sin \alpha}{V^2} \right) \frac{\lambda}{k} \quad (10)$$

### (۳) طراحی و ساخت مدل هیدرولیکی

با انتخاب چهار گزینه از ارتفاع پله های ۳۰، ۲۴، ۲۰ و ۲۵ میلیمتر و تغییر چهار زاویه کف پله های ۱۰، ۱۵، ۲۰ و ۲۵ درجه، ۱۶ گزینه مدل قسمتی (Segmental Model) از بخش پلکانی سریز ساخته و به قسمت غیر پلکانی متصل و مورد آزمایش قرار گرفت. هر گزینه شامل پله های انتقالی و اصلی می باشد. پله های انتقالی که قسمتی از پروفیل پایین دست تاج تا نقطه شروع شوت را دربر می گیرد، به منظور ایجاد یک منطقه انتقالی و بدون تلاطم بین بخش صاف و بخش پلکانی

در  $F_r = \frac{V}{gD \cos \alpha}$  عدد فرود ( $\frac{V}{gD \cos \alpha}$ ) می باشد. از طرفی بررسیهای نوری (۲) نشان داده است که ضریب کشش شکل ( $C_D$ ) (Form Drag) برای پله های واقع در شیب تند به صورت تابعی از عوامل زیر نوشتند می شود:

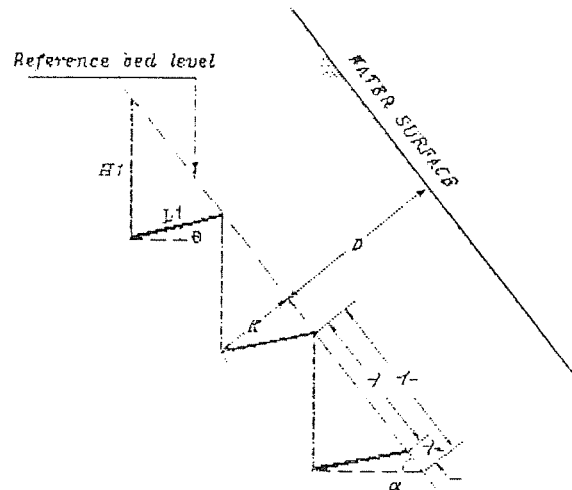
$$C_D = f(S, \frac{D}{K}, R_e, F_r) \quad (2)$$

با مقایسه روابط (۱) و (۲) می توان رابطه عمومی افت انرژی در سریز پلکانی را به صورت زیر نوشت:

$$\frac{E_L}{E_1} = f(\frac{P}{k}, \frac{H}{k}, \frac{\lambda}{k}, C_D) \quad (3)$$

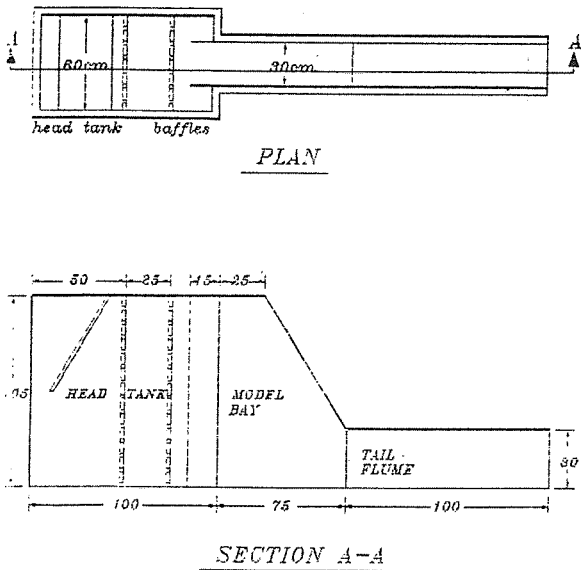
با توجه به شکل (۱) واستفاده از روابط مثلثاتی و اینکه  $k = H_1 \cos \alpha$  می باشد، پارامتر فاصله نسبی  $\frac{\lambda}{k}$  به صورت زیر به دست می آید:

$$\frac{\lambda}{k} = \frac{\cos \theta}{\cos \alpha \sin (\alpha + \theta)} \quad (4)$$



شکل (۱) مشخصات پله ها

در کanalهای با شیب تند و عناصر دوبعدی مثلثی، مقاومت برشی بر حسب کشش شکل ( $\tau''_B$ ) به طور تقریب مساوی تنفس برشی کل ( $\tau_B$ ) فرض می گردد. که البته بر اساس نتایج بررسیهای سیر (Sayre) و آلبرتسون (Albertson) (۲) خطای حاصله از این فرض به دلیل ناچیز بودن مقاومت ناشی از اصطکاک (Friction Drag Resistance) قابل صرفنظر



شکل (۳) پلان و مقطع فلوم مدل سرریز (کلیه اندازه ها به سانتیمتر)

سرریز مثلثی با زاویه رأس قائمه با ضریب بده  $C_d = 0.618$  صورت می گرفت، سپس به منظور محاسبه افت انرژی در بالا دست سرریز پلکانی، بلندای آب بر روی تاج سرریز توسط لیمینیمتر قرائت می شد.

پس از این مرحله، عمق جریان در پنجه سرریز به منظور محاسبه انرژی در پایاب سرریز اندازه گیری می گردید. همچنین عمق مؤثر جریان بر روی پله ها و حداقل بلندای آبی که جریان شبه صاف را بر روی سرریز پلکانی ایجاد می کند، ثبت می گردید. به علت تشابه نتایج به دست آمده از گزینه های مختلف از ارتفاع پله ها و اختصار مطالب، فقط نتایج آزمایشها مربوط به گزینه های ارتفاع ۳۰ میلیمتر در جدول (۱) ذکر می گردد.

### ۵) تجزیه و تحلیل نتایج

در آزمایشها انجام شده، دو نوع جریان بر روی سرریز پلکانی مشاهده گردیده است. در بده های نسبتاً کم جریان ورقه ای (Nappe flow) رخ می دهد که در آن آب به صورت یک جریان فورانی سقوطی از پله ای بر روی پله پایین تر ریخته و در زیر ورقه جریان فورانی، هوای محبوس و در کف پله ها به ارتفاع کمی آب وجود داشت. با افزایش بده جریان مرحله ای

که از نقطه تماس تا پنجه سرریز ادامه دارد (پله های اصلی) می باشد (شکل ۲). مقیاس مدل  $\frac{1}{25}$  در نظر گرفته شده است که با توجه به توصیه های USBR در مورد مقیاس مدل سرریزها، مقدار مناسبی است. از آنجا که جریان بر روی سرریزها، جریان با سطح آزاد است، پس نیروی غالب، نیروی نقل می باشد و قانون فرود حاکم خواهد بود، لذا نسبت های تشابه بین مدل و نمونه اصلی به شرح زیر نوشته می شود:

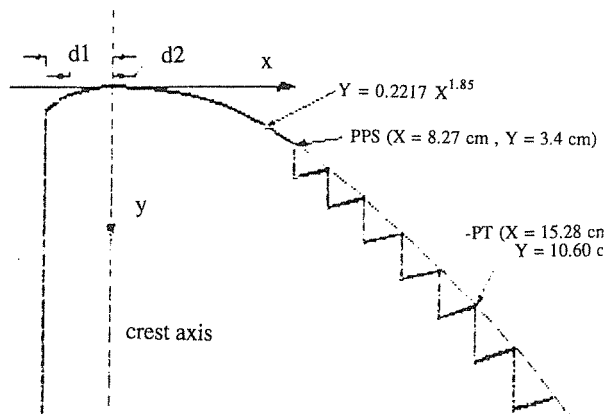
$$V_r = (L_r)^{1/2} = \frac{1}{5} \quad (11)$$

$$q_r = (L_r)^{3/2} = \frac{1}{125} \quad (12)$$

عرض فلوم سرریز ۳۰ سانتیمتر در نظر گرفته شده است که این مقدار با توجه به حدائق توصیه USBR (۱۵Cm) مناسب می باشد. حداقل بده مورد نیاز در مدل ۲۲ لیتر در ثانیه می باشد که توسط یک پمپ سانتریفوژ با طرفیت اسمی ۳۳ لیتر در ثانیه تأمین می شود. شکل (۳) پلان و مقطع مدل سرریز را نشان می دهد.

### ۴) روش انجام آزمایشها

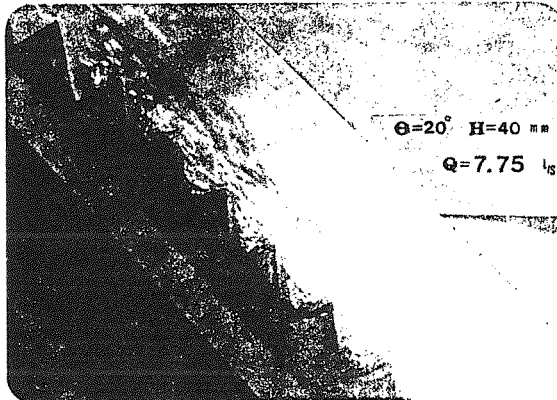
در هر گزینه از پله های با کف شیب دار، نحوه انجام آزمایشها بدین صورت بود که بده مورد نیاز مدل از حدائق (حدود  $1/7$  لیتر در ثانیه) شروع و تا حداقل (حدود ۲۲ لیتر در ثانیه) تغییر داده می شد. اندازه گیری به جریان توسط یک



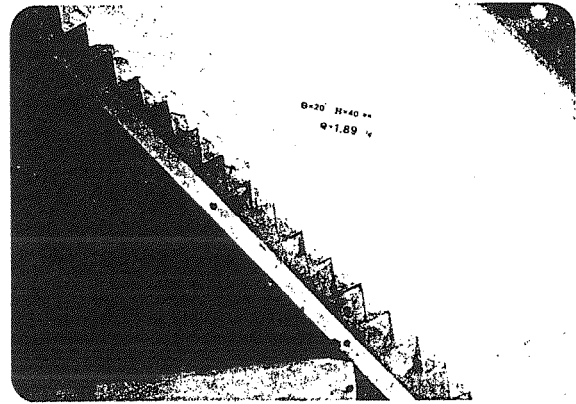
شکل (۲) بروفیل سرریز پلکانی

پارامتر بدون بعد  $\frac{y_c}{H_1}$  نشان می‌دهد. برای بررسی پارامترهای مؤثر در افت انرژی جریان بر روی سریز پلکانی، پارامترهای هیدرولیکی لازم محاسبه و در جداول (۲) و (۳) ذکر شده است.

فرا می‌رسید که در آن گردابهای چرخان (Roller Vortex) در فضای بین نوک پله‌ها تشکیل می‌گردید. در این حالت جریان شبه صاف (skimming flow) رخ می‌دهد (شکلهای ۴ و ۵). نمودار (۱) موقعیت شروع جریان شبه صاف را برحسب



شکل (۵) گردابهای ایجاد شده در لبه و بین پله‌ها



شکل (۶) شروع جریان شبه صاف

جدول (۱) نتایج حاصل از آزمایش گزینه‌های مربوط به ارتفاع پله ۳۰ میلیمتر

زاویه کف پله  $\theta =$  زاویه کف پله  $\theta =$  بدنه جریان  $H =$  با رآب سریز  $d =$  عمق جریان در پنجه سریز =

شماره آزمایش	$\theta = 0.0^\circ$			$\theta = 10^\circ$			$\theta = 15^\circ$			$\theta = 20^\circ$			$\theta = 25^\circ$		
	Q L/S	H mm	d mm	Q L/S	H mm	d mm	Q L/S	H mm	d mm	Q L/S	H mm	d mm	Q L/S	H mm	d mm
۱	۱/۲۳	۲۲/۱	۹/۵	۱/۹۹	۲۴	۶	۱/۹۶	۲۲/۲	۶	۱/۷۹	۲۱/۵	۵	۲/۰۳	۲۳/۸	۵
۲	۲/۲۱	۲۲/۶	۱۰/۲	۴/۰۶	۲۶/۵	۱۰/۵	۴/۲۸	۲۷	۱۰	۲/۹	۳۵/۵	۹	۴/۲۸	۲۷	۹
۳	۵/۵۶	۴۵/۹	۱۴	۵/۶	۴۴	۱۳/۵	۵/۸۶	۴۵/۴	۱۳	۵/۸۶	۴۴/۸	۱۲/۵	۶/۱۳	۴۶/۳	۱۲
۴	۸/۵۱	۵۸/۷	۲۰	۸/۰۶	۵۵/۷	۱۷	۸/۰۶	۵۵/۷	۱۶/۵	۷/۷۵	۵۳	۱۵	۸/۰۶	۵۴/۶	۱۵
۵	۱۰/۴۶	۶۵/۹	۲۲	۱۰/۱۴	۶۲/۹	۲۰/۵	۹/۷۸	۶۲/۴	۲۰	۱۰/۰۵	۶۲/۵	۱۹	۱۰/۲۳	۶۳/۶	۱۸/۵
۶	۱۲/۶۶	۷۴/۱	۲۵	۱۱/۶۹	۶۸/۷	۲۲/۵	۱۱/۸۹	۷۰/۸	۲۲	۱۱/۸۹	۶۹/۲	۲۰/۵	۱۲/۱	۶۸/۸	۲۰
۷	۱۴/۸۱	۸۰/۹	۲۸	۱۳/۵۹	۷۵/۲	۲۵	۱۳/۹۲	۷۸/۲	۲۵	۱۳/۲۷	۷۳/۴	۲۲/۵	۱۳/۵۹	۷۳/۵	۲۲
۸	۱۶/۴۹	۸۰/۸	۳۰	۱۰/۹	۸۱/۸	۲۸	۱۰/۶۶	۸۰/۲	۲۷	۱۰/۷۸	۸۱	۲۶	۱۰/۷۸	۸۱/۵	۲۵/۵
۹	۱۷/۹۷	۹۰/۱	۳۲	۱۷/۶۵	۸۸/۶	۲۰/۵	۱۷/۳۹	۹۰/۵	۲۰	۱۷/۶۵	۸۹/۳	۲۹	۱۷/۴	۸۶/۲	۲۷/۵
۱۰	۲۰/۶۶	۹۶/۲	۲۵	۱۹/۲۴	۹۴	۲۲/۵	۱۹/۳۸	۹۵/۴	۲۲/۵	۱۹/۲۴	۹۱/۸	۲۱/۵	۱۸/۲۲	۹۱/۴	۲۰
۱۱	۲۲/۵۸	۱۰۱/۹	۳۲	۲۰/۷۷	۱۰۲/۶	۲۵	۲۰/۹۱	۱۰۲/۲	۲۴	۲۱/۴۹	۹۹/۶	۲۲	۲۰/۹۲	۹۶/۶	۲۲

جدول (۲) پارامترهای هیدرولیکی محاسبه شده در گزینه های مربوط به ارتفاع پله ۳۰ میلیمتر

شماره زمانس	$\theta = 0.0^\circ$			$\theta = 10^\circ$			$\theta = 15^\circ$			$\theta = 20^\circ$			$\theta = 25^\circ$		
	$\frac{H}{K}$	V m/S	$\%E_L$	$\frac{H}{K}$	V m/S	$\%E_L$	$\frac{H}{K}$	V m/S	$\%E_L$	$\frac{H}{K}$	V m/S	$\%E_L$	$\frac{H}{K}$	V m/S	$\%E_L$
۱	۱/۵۵	۰/۵۱	۹۶/۶	۱/۵	۱/۱	۹۷/۱۳	۱/۵۵	۱/۰۴	۹۷/۲۵	۱/۱۶	۱/۱۹	۹۱/۰۶	۱/۲۹	۱/۱۲	۹۱/۲۸
۲	۱/۴۷	۱/۰۸	۹۲/۱	۱/۹۸	۱/۱۹	۸۹/۱۵	۱/۴۷	۱/۲۳	۸۷	۱/۹۲	۱/۴۴	۸۶/۰۶	۱/۳۸	۱۴/۳۸	
۳	۱/۴۹	۱/۲۲	۸۸/۴	۲/۳۸	۱/۳۸	۸۷/۲۲	۲/۴۶	۱/۵	۸۵/۳۲	۲/۴۵	۱/۵۶	۸۴/۰۲	۲/۳۱	۱/۲	۸۱/۳۴
۴	۱/۱۸	۱/۲۲	۸۶/۲	۲/۰۵	۱/۰۸	۸۷/۲۲	۲/۰۲	۱/۶۲	۸۷/۰۲	۲/۸۷	۱/۷۲	۸۱/۰۱	۲/۹۶	۱/۷۹	۸۰/۱۱
۵	۱/۵۲	۱/۰۸	۸۷/۰	۲/۴۱	۱/۹۵	۸۷/۲۹	۲/۷۸	۱/۹۲	۸۲/۸۱	۱/۲۹	۱/۷۶	۸۰/۲۸	۱/۴۵	۱/۸۶	۷۸/۲۲
۶	۱/۰۵	۱/۶۹	۸۱/۴	۲/۷۲	۱/۷۷	۸۰/۷۵	۲/۸۴	۱/۸	۷۹/۴۲	۲/۷۳	۱/۹۲	۷۶/۷۹	۲/۷۲	۱/۰۲	۷۵/۰۲
۷	۱/۴۸	۱/۷۶	۷۹/۸	۲/۰۷	۱/۸۱	۷۹/۰۲	۲/۴۴	۱/۸۶	۷۸/۲۱	۲/۹۳	۱/۹۸	۷۵/۴۸	۲/۰۶	۷۲/۳۲	
۸	۱/۴۵	۱/۰۳	۷۸/۲	۲/۴۲	۱/۸۷	۷۷/۱۱	۲/۴۵	۱/۹۳	۷۶/۵۴	۲/۳۹	۱/۰۲	۷۴/۴۸	۲/۴۲	۱/۰۶	۷۲/۴۲
۹	۱/۸۸	۱/۸۷	۷۷/۴	۲/۸	۱/۹۲	۷۶/۲۲	۲/۹	۱/۹۲	۷۶/۲۲	۲/۰۴	۱/۰۲	۷۶/۲۲	۲/۶۷	۱/۱۱	۷۱/۳۷
۱۰	۱/۲۱	۱/۹۷	۷۵/۱	۲/۹۹	۱/۹۹	۷۵/۲۲	۲/۱۷	۱/۹۹	۷۴/۹۷	۲/۹۷	۱/۰۴	۷۲/۹۲	۱/۱۲	۱/۱۱	۷۱/۰۲
۱۱	۱/۰۱	۱/۰۵	۷۲/۱۴	۱/۰۵	۱/۹۸	۷۲/۱۸	۱/۰۵	۱/۰۵	۷۲/۶۷	۱/۰۲	۱/۱۲	۷۰/۹۲	۱/۱۲	۱/۱۸	۷۰/۰۶

جدول (۳) پارامترهای هیدرولیکی محاسبه شده برای بررسی ضریب گشش شکل در گزینه های ارتفاع ۳۰ میلیمتر

$\theta$ درجه	Q L/S	$D \cos \alpha$ m	V m/S	$R_b$ m	$C_D$	$\frac{D}{K}$	$R_h$	$F_x$
۱۰	۷/۵	۰/۰۱۲	۱/۲۱	۰/۰۱۸۸	۰/۳۰۶	۱/۰۲	۲۲۹۷۸	۱/۸۱۸
۱۱	۱۰	۰/۰۱۴	۱/۴۵	۰/۰۱۷۶	۰/۳۰۶	۱/۲۲	۲۲۹/۵	۱/۹۱۲
۱۲	۱۲/۵	۰/۰۱۶	۱/۶	۰/۰۱۸۵	۰/۳۰۶	۱/۴۱	۲۰۹۶۰	۱/۰۲۸
۱۳	۱۵	۰/۰۱۸	۱/۷۲	۰/۰۱۸	۰/۳۰۶	۱/۶۲	۱۸۱۲۰	۱/۰۲۷
۱۴	۱۷/۵	۰/۰۱۹	۱/۸۸	۰/۰۱۹۲	۰/۳۰۶	۱/۸۱	۲۱۰۱۲	۱/۰۲۶
۱۵	۲۰	۰/۰۲۱	۱/۹۸	۰/۰۲۲۲	۰/۳۰۶	۱/۱۸	۲۰۲۷۸	۱/۱۲۸
۱۶	۱۵	۰/۰۰۹	۱/۱۱	۰/۰۱۹۹	۰/۳۱۹	۰/۸۱	۱۵۰۲۹	۱/۷۲۵
۱۷	۱۷/۵	۰/۰۱۱	۱/۱۸	۰/۰۱۸۴	۰/۲۲۰	۰/۹۷	۲۲۷۲۲	۱/۲۰۳
۱۸	۱۰	۰/۰۱۳	۱/۳۱	۰/۰۲۱۷	۰/۲۳۱	۱/۱۹	۲۲۷۶۴	۱/۲۰۳
۱۹	۱۲/۵	۰/۰۱۵	۱/۴۷	۰/۰۲۴۶	۰/۲۲۲	۱/۳۲	۱۹۰۸۲	۱/۰۲۷
۲۰	۱۵	۰/۰۱۲	۱/۶۸	۰/۰۲۰۷	۰/۲۲۰	۱/۵۱	۱۸۰۲۰	۱/۰۲۹
۲۱	۱۷/۵	۰/۰۱۸	۱/۷۴	۰/۰۲۹۲	۰/۲۰۵	۱/۸۱	۱۷۰۲۶	۱/۰۲۷
۲۲	۲۰	۰/۰۲	۱/۰۸	۰/۰۱۸۱	۰/۱۸۹	۱/۷۲	۱۷۷۸۰	۱/۰۲۶
۲۳	۱۰	۰/۰۰۸	۱/۱۸	۰/۰۱۹۹	۰/۱۹۲	۰/۸۱	۱۵۰۱۲	۱/۰۲۱
۲۴	۱۲/۵	۰/۰۱۱	۱/۱۵	۰/۰۱۸۸	۰/۱۷۶	۰/۹۷	۱۲۷۷۲	۱/۰۲۰
۲۵	۱۰	۰/۰۱۳	۱/۳۹	۰/۰۲۰۷	۰/۲۰۷	۱/۱۲	۲۲۹۱۳	۱/۰۲۰
۲۶	۱۲/۵	۰/۰۱۵	۱/۴۷	۰/۰۲۲۵	۰/۱۹۲	۱/۱۳	۲۱۰۶۲	۱/۰۲۰
۲۷	۱۵	۰/۰۱۷	۱/۶۰	۰/۰۲۹۳	۰/۱۹۲	۱/۴۶	۱۹۰۲۰	۱/۰۲۰
۲۸	۱۷/۵	۰/۰۱۸	۱/۷۱	۰/۰۲۰۴	۰/۱۹۳	۱/۱۲	۱۷۰۸۴	۱/۰۲۰
۲۹	۲۰	۰/۰۲	۱/۰۸	۰/۰۱۸۱	۰/۱۷۸	۱/۷۲	۱۷۷۴۰	۱/۰۲۰
۳۰	۱۰	۰/۰۰۸	۱/۱۸	۰/۰۱۸۹	۰/۱۸۷	۰/۸۱	۱۷۰۱۷	۱/۰۲۰
۳۱	۱۲/۵	۰/۰۱۱	۱/۱۴	۰/۰۱۸۸	۰/۱۸۷	۰/۹۷	۱۲۷۷۶	۱/۰۲۰
۳۲	۱۰	۰/۰۱۳	۱/۳۷	۰/۰۱۹۷	۰/۱۸۷	۰/۱۸	۲۲۹۱۹	۱/۰۲۰
۳۳	۱۲/۵	۰/۰۱۴	۱/۴۱	۰/۰۲۰۶	۰/۱۸۱	۱/۲۲	۲۰۹۰۶	۱/۰۲۰
۳۴	۱۵	۰/۰۱۶	۱/۴۹	۰/۰۲۰۵	۰/۱۸۱	۱/۱۲	۱۷۰۲۰	۱/۰۲۰
۳۵	۱۷/۵	۰/۰۱۸	۱/۵۱	۰/۰۲۰۴	۰/۱۸۱	۱/۳۲	۱۷۰۸۶	۱/۰۲۰
۳۶	۲۰	۰/۰۲	۱/۰۸	۰/۰۱۸۷	۰/۱۷۷	۰/۱۸	۱۷۷۴۰	۱/۰۲۰

با توجه به روابط (۲) و (۳) می‌توان عوامل مؤثر در افت انرژی را مورد بررسی قرار داد. از آنجا که ارتفاع سریز ( $P$ ) در طی آزمایشها ثابت بوده، لذا در این تحقیق تأثیر پارامترهای  $\frac{P}{k}$  در افت انرژی بررسی نشده است. ولی تأثیر پارامترهای  $\frac{R_e}{k}$  و  $\frac{F_r}{k}$  بر روی ضریب کشش شکل ( $C_D$ ) بررسی گردیده است. برای تجزیه و تحلیل نتایج به دست آمده از آزمایشها و بررسی همبستگی موجود بین پارامترهای مختلف از برنامه کامپیوتری STATG استفاده شده است.

#### تأثیر پارامتر $\frac{H}{k}$ در افت انرژی

این پارامتر بیانگر تغییرات بده جریان در یک ارتفاع مشخص از پله‌ها می‌باشد. نمودار (۲) تغییرات درصد افت انرژی با  $\frac{H}{k}$  را نشان می‌دهد، از این نمودار مشاهده می‌شود که در هر گزینه از زاویه کف پله، با افزایش  $\frac{H}{k}$  (افزایش بده جریان)، افت انرژی کاهش می‌یابد. همچنین در یک  $\frac{H}{k}$  (بده) مشخص، با افزایش زاویه شیب کف پله‌ها افت انرژی کاهش می‌یابد.

#### تأثیر پارامتر $\frac{\lambda}{k}$ در افت انرژی

با توجه به رابطه (۴) در سریز پلکانی با پله‌های کف شیب‌دار، پارامتر فاصله نسبی  $\frac{L}{k}$  مستقل از ابعاد پله‌ها بوده و تنها تابعی از زاویه شیب عمومی سریز ( $\alpha$ ) و زاویه کف پله‌ها ( $\theta$ ) می‌باشد. از آنجا که  $\lambda = 52/045^\circ$  و  $\theta = 10^\circ$  برابر، ۱۰، ۱۵، ۲۰ و ۲۵ درجه می‌باشند، لذا  $\frac{L}{k}$  به ترتیب برابر  $1/512$ ،  $1/606$ ،  $1/705$ ،  $1/813$  و  $1/1062$  می‌آید. بررسیهای نایت و مکدونالد (Knight & Macdonald) (۱) در مورد تقسیم بندی انواع جریان در زبری‌های مصنوعی نشان داده است که رژیم جریان در پایین تراز حد  $\frac{L}{k} = 3/47$  از نوع جریان شبیه صاف خواهد بود. لذا در این تحقیق که پارامتر  $\frac{L}{k}$  کمتر از حدود فوق می‌باشد، وقوع جریان شبیه صاف حتی بوده و تأییدی بر مشاهدات آزمایشگاهی می‌باشد. نمودار (۳) تغییرات درصد افت انرژی و  $\frac{L}{k}$  را در بدنه‌های مختلف نشان می‌دهد. از این نمودار مشاهده می‌شود که در یک بدنه مشخص، با افزایش  $\frac{L}{k}$  افت انرژی افزایش و در یک  $\frac{L}{k}$  مشخص با افزایش بده جریان افت انرژی کاهش می‌یابد.

#### تأثیر پارامتر $C_D$ در افت انرژی

در بسترهای زبر شده توسط عناصر زبر مصنوعی، قسمت عمده مقاومت هیدرولیکی ایجاد شده در مقابل جریان ناشی از

مقاومت کشش شکل (form Drag Resistance) عناصر زبر می‌باشد. در بررسی این مقاومت از پارامتر ضریب کشش شکل  $C_D$  به عنوان شاخص اتفاق انرژی استفاده می‌شود، بدین منظور با توجه به رابطه (۲)، در این تحقیق عوامل مؤثر در ضریب کشش شکل مورد بررسی قرار گرفته است. این عوامل عبارتند از:

(الف) تغییرات ضریب کشش شکل با عمق نسبی: نمودار (۴) تغییرات  $C_D$  با  $\frac{D}{k}$  را در گزینه‌های مختلف از زاویه کف پله‌ها نشان می‌دهد، از این نمودار می‌توان ملاحظه نمود که با افزایش  $\frac{D}{k}$ ، ضریب کشش شکل کاهش می‌یابد. همچنین در یک عمق نسبی مشخص با افزایش زاویه شیب کف پله‌ها ( $\theta$ ) ضریب کشش شکل کاهش می‌یابد، با توجه به رابطه مستقیم عمق جریان ( $D$ ) با بدنه (۵) علت کاهش درصد افت انرژی جریان در اثر افزایش بده جریان را می‌توان به کاهش پارامتر  $C_D$  در اثر افزایش  $\frac{D}{k}$  مرتبط دانست.

(ب) تغییرات ضریب کشش شکل با عدد رینولدز: تغییرات  $C_D$  با  $R_e$  مشابه تغییرات این ضریب با پارامتر  $\frac{D}{k}$  می‌باشد که در نمودار (۵) نشان داده شده است.

(ج) تغییرات ضریب کشش شکل با عدد فرود: نمودار (۶) این تغییرات را نشان می‌دهد، همانطور که از این نمودار مشاهده می‌شود تمام داده‌های مربوط به گزینه‌های مختلف در اطراف یک منحنی جمع شده‌اند. لذا با استفاده از برنامه محاسبات آماری مشخص گردید که مدل توانی دارای بیشترین ضریب همبستگی می‌باشد، بنابراین با توجه به ضرایب ثابت مدل توانی، رابطه  $C_D$  با عدد فرود ( $F_r$ ) به صورت زیر در می‌آید:

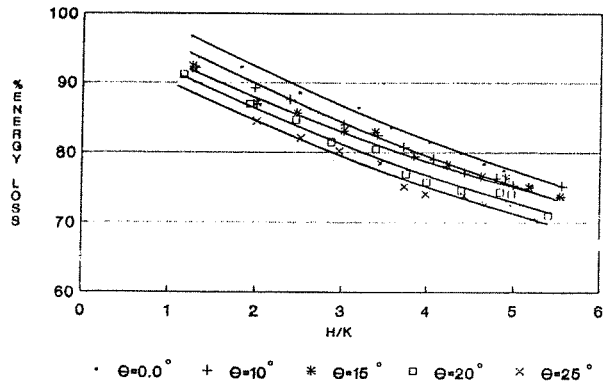
$$C_D = \frac{12.49}{F_r^{2.74}} \quad (13)$$

تجزیه و تحلیل آماری نشان داد که در بین پارامترهای مؤثر در ضریب کشش شکل، بیشترین ضریب همبستگی مربوط به عدد فرود می‌باشد که این امر مبنی تأثیر غالب عدد فرود در تغییرات  $C_D$  خواهد بود. قابل ذکر است که نوری (۲) پارامتر  $C_D$  را برای شباهای تند پلکانی شده کمتر از  $1:10$ ،  $1:5$  به صورت زیر به دست آورده است:

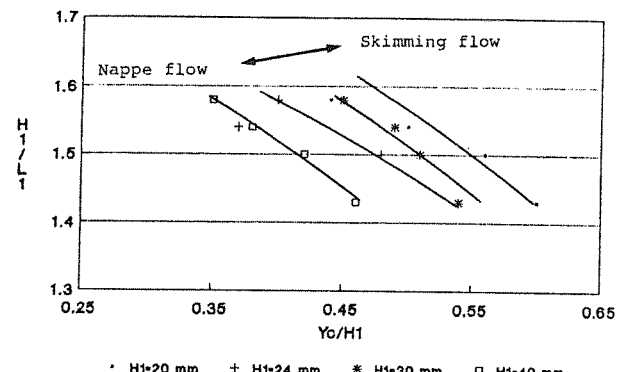
$$C_D = \frac{2.24}{F_r^{2.13}} \quad (14)$$

استفاده نمود. نتایج به دست آمده فوق نقش شاخص بودن پارامتر  $C_D$  و در نتیجه عوامل مؤثر در آن را در میزان افت انرژی جریان بر روی سرریز پلکانی مشخص می‌سازد.

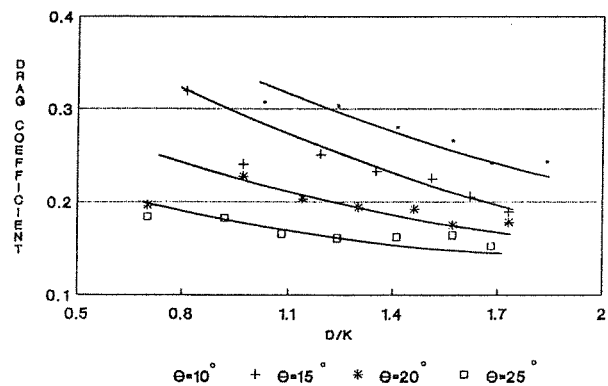
بنابراین به دلیل تفاوت مکانیسم افت انرژی در شباهی کمتر و بیشتر از ۱:۱ می‌توان برای محاسبه ضرب کشش شکل در شباهی خیلی تندر پلکانی از رابطه (۱۳) و برای شباهی تندر پلکانی (شباهی کمتر از ۱:۱) از رابطه (۱۴)



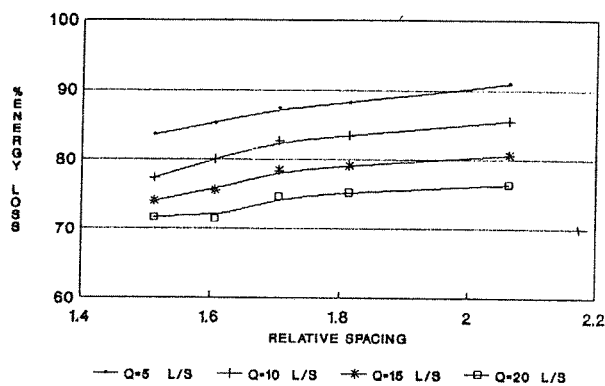
نمودار (۲) تغییرات درصد افت انرژی با  $\frac{H}{K}$  برای گزینه‌های مختلف از زاویه کف پله



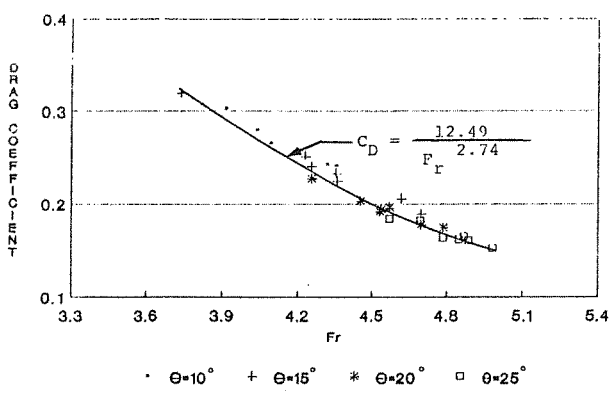
نمودار (۱) شروع جریان شبه صاف در گزینه‌های مختلف بر حسب  $\frac{Y_C}{H_1}$



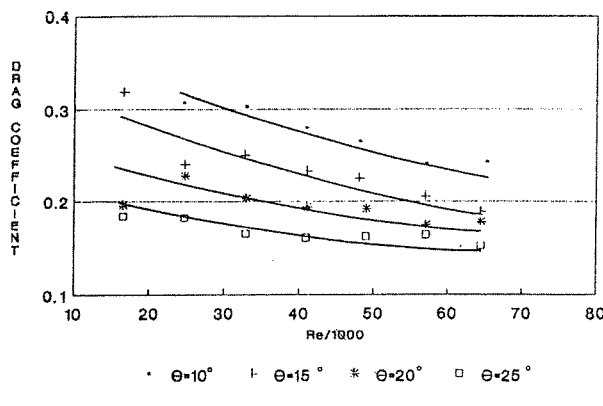
نمودار (۳) تغییرات ضرب کشش شکل با عمق نسبی در گزینه‌های مختلف



نمودار (۴) تغییرات درصد افت انرژی با فاصله نسبی برای بدنهای ۵ تا ۲۰ لیتر در ثانیه



نمودار (۵) تغییرات ضرب کشش شکل با عدد فرود



نمودار (۶) تغییرات ضرب کشش شکل با عدد رینولز در گزینه‌های مختلف

## ۶) نتیجه گیری

- استهلاک انرژی ندارد.
- ۴ - رژیم جریان در اکثر بدها از نوع جریان شبه صاف (Skimming flow) می باشد که این نوع جریان در  $\frac{Y_e}{H_l} = 0.35$  گزینه های مختلف در بالای محدود اتفاق می افتد.
- ۵ - افزایش و کاهش فاصله نسبی، باعث افزایش و کاهش افت انرژی می گردد.
- ۶ - در بین پارامترهای مؤثر در ضرب کشش شکل پله ها در سریز پلکانی مشخص گردید که عدد فرود پارامتر غالب بوده و لذا رابطه ای برای تخمین ضرب کشش شکل به دست آمد.

- با توجه به نتایج آزمایش های انجام شده و تحلیل ابعادی سریز پلکانی می توان نتایج را به شرح زیر خلاصه نمود:
- ۱ - با افزایش بده جریان (بلندای آب بر روی تاج سریز) میزان افت انرژی کاهش می یابد.
  - ۲ - در اثر پلکانی شدن سریز میزان قابل توجهی از انرژی جریان مستهلك می گردد، در نتیجه ابعاد حوضچه آرامش مورد نیاز کاهش می یابد.
  - ۳ - با افزایش زاویه کف پله (کاهش فاصله نسبی) درصد افت انرژی کاهش می یابد، لذا در شبیه های عمومی بیشتر از ۱:۱ شبی دار کردن کف پله ها اثر مثبت بر روی میزان

## منابع:

1. knight, D. W., and Macdonald, J. A., "Hydraulic Resistance of Artificial strip Roughness", Journal of the Hydraulics Division ASCE, Vol.105, No. HY6, June, 1979.
2. Norri, Bahzad, M. A., "Form Drag Resistnace of two Dimentinal stepped steep open channels", channels and channel control sturctures, springer, 1984.
3. Rajaratnam, N., "skimming Flow in stepped spillway" Journal of Hydraulics Division ASCE, Vol. 116, No.4, 1990.
4. Sorensen, R.M. "Stepped spillway Hydraulic Model Investigation", Journal of Hydraulics Division, ASCE, Vol. 111, No. 12, 1985.
5. Young, M.F, "Feasibility study of A. Stepped spillway" Hydraulics Division speciality conference, Jackson, MS, 1982.